

PACS NUMBERS 73.50.RB, 72.15LH

Л.В. Дехтярук

## Розмірний акустoeлектронний осциляційний ефект у металевих двошарових плівках

*Харківський державний технічний університет будівництва та архітектури,  
вул. Сумська, 40, Харків, 61002, Україна; тел. (0572) 40-29-13*

Теоретично проаналізовано частотну та розмірну залежності коефіцієнта поглинання енергії поздовжньої звукової хвилі  $\Gamma$ , що поширюється по нормалі до межі поділу шарів у металевих двошарових плівках (ДП) при довільному співвідношенні між товщинами шарів  $d_j$  ( $j=1,2$ ) зразка і довжиною вільного пробігу електронів  $l_j$ . Передбачено немонотонну залежність величини  $\Gamma$  від відношення товщин шарів ДП при виконанні нерівності  $kd_j \ll 1$  ( $k$  – хвильове число звукової хвилі). Якщо ж  $kd_j \gg 1$ , то внаслідок обмеження шарів металу по товщині, коефіцієнт поглинання енергії звукової хвилі стає осцилюючою функцією товщини ДП, амплітуда якої суттєво залежить від ступеня дзеркальності зовнішніх поверхонь і межі поділу шарів. Проведений числовий розрахунок величини  $\Gamma$  при довільних значеннях параметрів, які описують об'ємну та поверхневу релаксацію носіїв заряду.

**Ключові слова:** двошарова плівка, звукова хвиля, коефіцієнт поглинання, деформаційний механізм поглинання, параметр дзеркальності.

*Стаття постуила до редакції 27.09.2002; прийнята до друку 23.12.2002*

Широке використання багатошарових металевих структур у мікроелектроніці і пов'язана з цим проблема мініатюризації акустoeлектронних приладів визначає постійний інтерес до вивчення розмірних акустoeлектронних ефектів в них. З іншої сторони дослідження декремента затухання акустичної хвилі дозволяє отримати таку важливу з фундаментальної точки зору інформацію щодо взаємодії носіїв заряду із міжшаровою та зовнішніми межами зразка (див.[1] і цитовану там літературу).

У даній роботі теоретично проаналізовано частотна та розмірна залежності коефіцієнта електронного поглинання енергії поздовжньої звукової хвилі  $\Gamma$ , яка розповсюджується по нормалі до межі поділу (МП) шарів у двошаровій монокристалічній пластині (ДП), при довільному співвідношенні між товщинами шарів зразка і довжиною вільного пробігу електронів у них. Отримано точну та асимптотичні формули для величини  $\Gamma$ . Показано, що при виконанні нерівності  $kd_j \ll 1$ , як в області слабкої ( $kl_j \ll 1$ ) так і в області сильної ( $kl_j \gg 1$ ) просторової дисперсії, коефіцієнт поглинання звукової енергії немонотонним чином змінюється із зростанням товщини двошарової пластини. При виконанні

нерівності  $kd_j \gg 1$ , внаслідок обмеження шарів металу по товщині коефіцієнт поглинання стає осцилюючою функцією товщини шарів ДП. Проведено докладний числовий розрахунок залежності величини  $\Gamma$  від співвідношення товщини шарів ДП і частоти звукової хвилі при довільних значеннях параметрів які описують характер взаємодії носіїв заряду з внутрішньою та зовнішніми межами двошарового зразка.

В металах, при температурах нижче дебаєвської, основними механізмами електронного поглинання енергії звукової хвилі являються джоулеві втрати (індукційний механізм поглинання) [2] і деформаційне поглинання, яке пов'язане із взаємодією електронів з кристалічною решіткою металу і може бути враховане шляхом перенорміровки енергії носіїв заряду у решітці, яка коливається з акустичною хвилею [3]. В лінійному наближенні по ступеням тензору деформації

$$u_{ik} = \frac{1}{2} \left( \frac{\partial u_i}{\partial x_k} + \frac{\partial u_k}{\partial x_i} \right),$$
 доавка до не збуреної енергії

електронів  $\varepsilon_0(\mathbf{p})$  пропорційна  $u_{ik}$  і дорівнює [3]:

$$\varepsilon(\mathbf{r}, \mathbf{p}, t) = \varepsilon_0(\mathbf{p}) + \lambda_{ik}(\mathbf{p}) u_{ik}(\mathbf{r}, t), \quad (1)$$

де  $\mathbf{r}$ ,  $\mathbf{p}$  – координата та квазіімпульс електрона,

$\lambda_{ik}$  – тензор деформаційного потенціалу, компоненти якого по порядку величини співпадають з енергією Фермі електронів  $\varepsilon_F$  у недеформованому металі.

Для того щоб обчислити коефіцієнт електронного поглинання енергії поздовжньої звукової хвилі  $u_{ik} = u_{ik0} \exp\{i\mathbf{k}\mathbf{r} - i\omega t\}$ , що поширюється по нормалі до межі поділу шарів у двошаровій пластині

$$\Gamma = \frac{1}{d} \operatorname{Re} \sum_{j=1}^2 \frac{1}{W_j} \int_0^{d_j} dx \langle g_j^*(\mathbf{p}) f_j(|x|, \mathbf{p}) \rangle, \quad (2)$$

необхідно розв'язати лінеаризоване по малому тензору деформації  $u_{ik}$  кінетичне рівняння Больцмана для функції розподілу носіїв заряду

$$f_j(\mathbf{r}, \mathbf{p}, t) = f_0(\varepsilon_{0j}) - \frac{\partial f_0}{\partial \varepsilon_{0j}} \Psi_j(\mathbf{r}, \mathbf{p}) e^{i(\mathbf{k}\mathbf{r} - \omega t)}, \quad (3)$$

яке в  $\tau$  – наближенні для інтеграла зіткнення має вигляд:

$$\begin{aligned} v_j \frac{\partial \Psi_j}{\partial \mathbf{r}} + \{v_j + i(\mathbf{k}\mathbf{v}_j - \omega)\} \Psi_j = \\ = \Lambda_{ik}(\mathbf{p}) \dot{u}_{ik} + e\mathbf{v}_j \mathbf{E} \equiv g_j(\mathbf{p}) \end{aligned} \quad (4)$$

Звукова хвиля вважається монохроматичною з частотою  $\omega = sk$ ,  $s$  – швидкість акустичної хвилі,  $k$  – її хвильове число;  $W_j = 1 \setminus (2\rho_j s |\dot{u}|^2)$  – густина енергії у звуковій хвилі,  $\rho_j$  – густина металу,  $|\dot{u}|$  – швидкість переміщення атомів металу під дією звукової хвилі;  $e$ ,  $\mathbf{v}$  – заряд та швидкість носіїв заряду,  $v_j = 1/\tau_j$  – частота об'ємних зіткнень електронів,  $\Lambda_{ik}$  – відмінність деформаційного потенціалу  $\lambda_{ik}$  від його середнього значення на поверхні Фермі, який описує локальну зміну закону дисперсії електронів у полі звукової хвилі; кутовими дужками позначено інтегрування по поверхні Фермі, а знаком \* – комплексне спряження. Множник  $e\mathbf{v}_j \mathbf{E}$  описує взаємодію носіїв заряду з електричним полем напруженістю  $\mathbf{E}$ , яке збуджується у двошаровій пластині акустичною хвилею. У випадку поздовжньої звукової хвилі, як показано в роботі [4], урахування електричного поля малосуттєво і подальше обмежимося лише деформаційним множником  $\Lambda_{ik}(\mathbf{p}) \dot{u}_{ik}$  у правій частині кінетичного рівняння (4).

Загальним розв'язком кінетичного рівняння (4) є функція

$$\begin{aligned} \Psi_j(x, \mathbf{p}) = F_j \exp \left\{ -\frac{v_j + i(\mathbf{k}\mathbf{v}_j - \omega)}{v_{xj}} (x - x_s) \right\} + \\ + \frac{1}{v_{xj}} \int_{x_s}^x dx' g_j(\mathbf{p}) \exp \left\{ -\frac{v_j + i(\mathbf{k}\mathbf{v}_j - \omega)}{v_{xj}} (x - x') \right\}, \end{aligned} \quad (5)$$

де  $x_s$  – координата точки розсіювання електрона на

зовнішній поверхні ( $x_s = -d_1, d_2$ ) або на межі поділу шарів ( $x_s = 0$ ).

Формула (5) містить довільну функцію  $F_j$ , яку необхідно визначити за допомогою граничних умов, які описують характер взаємодії носіїв заряду з МП шарів металу та зовнішніми межами зразка. Для простоти допустимо, що закон дисперсії носіїв заряду квадратичний та ізотропний. У цьому випадку перенормівка хімічного потенціалу електронів після взаємодії із зовнішніми поверхнями та МП шарів зразка відсутня [5,6] і граничні умови на міжшаровій [6] та зовнішніх межах зразка [7,8] мають наступний вигляд:

$$\Psi_j^{-s_j}(0, \mathbf{p}) = P \Psi_j^{s_j}(0, \mathbf{p}') + Q \Psi_n^{-s_n}(0, \mathbf{p}''), \quad (6)$$

$$\Psi_j^{s_j}(-s_j d_j, \mathbf{p}) = q_j \Psi_j^{-s_j}(-s_j d_j, \mathbf{p}'), \quad j \neq n = 1, 2. \quad (7)$$

Тут  $P$  – імовірність дзеркального розсіювання носіїв заряду на межі поділу шарів,  $Q$  – імовірність проходження електрона у сусідній шар зразка без розсіювання, причому  $P + Q \leq 1$ ,  $q_j$  – параметр дзеркальності Фукса, який визначає відносну долю носіїв заряду які дзеркальним чином розсіюються зовнішніми поверхнями ДП. Квазіімпульси  $\mathbf{p}$ ,  $\mathbf{p}'$  і  $\mathbf{p}''$  зв'язані між собою умовами збереження енергії і тангенціальної по відношенню до зовнішньої та міжшарової поверхні компоненти квазіімпульсу;  $s_j = \pm$  і вказує знак нормальної до МП та зовнішньої границі складової швидкості електронів  $v_{xj}$ .

Підставляючи функцію  $\Psi_j(x, \mathbf{p})$  у вигляді (5) в граничні умови (6) та (7), отримаємо систему лінійних алгебраїчних рівнянь відносно функції  $F_j$ . Знаючи функцію розподілу носіїв заряду (5), можна обчислити декремент затухання звукової хвилі  $\Gamma$  (2) в ДП. Кінцевий результат розрахунку запишемо у наступному вигляді:

$$\Gamma = \frac{1}{d} \operatorname{Re} \sum_{j=1}^2 d_j \Gamma_{0j} \Phi_j, \quad (8)$$

де  $d = d_1 + d_2$  – товщина двошарового зразка,  $d_j$  – товщина  $j$ -го шару металу. Розмірні функції  $\Phi_j$ , які визначають вплив розмірів шарів металу на коефіцієнт електронного поглинання енергії звукової хвилі  $\Gamma$  в ДП, дорівнюють:

$$\begin{aligned} \Phi_j = 1 - \frac{1}{2t_j \arctg(kl_j)} \times \\ \times \int_0^1 dx x \left\{ \frac{G_j(1 - E_j^{s_j})}{(H_j^{s_j})^2} + \frac{G_j^*(1 - E_j^{s_n})}{(H_j^{s_n})^2} \right\}. \end{aligned} \quad (9)$$

Тут

$$\begin{aligned}
 G_j &= \frac{1}{\Delta} \left\{ \left( 1 - q_n P E_n^{s_j} E_n^{s_n} \right) \left( 1 - q_j \left( 1 - E_j^{s_j} \right) \frac{H_j^{s_j}}{H_n^{s_n}} \right) - \right. \\
 &- q_j E_j^{s_n} \left( P + q_n \left( Q^2 - P^2 \right) E_n^{s_j} E_n^{s_n} \right) - \\
 &- q_j Q \tau_{n,j} E_j^{s_n} \left( q_n \left( 1 - E_n^{s_j} \right) E_n^{s_n} \frac{H_j^{s_j}}{H_n^{s_n}} + \left( 1 - E_n^{s_n} \right) \frac{H_j^{s_j}}{H_n^{s_n}} \right) \left. \right\}; \\
 G_j^* &= \frac{1}{\Delta} \left\{ 1 - q_n P E_n^{s_j} E_n^{s_n} - \left( P + q_n \left( Q^2 - P^2 \right) E_n^{s_j} E_n^{s_n} \right) \times \right. \\
 &\times \left( q_j E_j^{s_j} + \left( 1 - E_j^{s_j} \right) \frac{H_j^{s_n}}{H_n^{s_n}} \right) \\
 &- Q \tau_{n,j} \left( q_n \left( 1 - E_n^{s_j} \right) E_n^{s_n} \frac{H_j^{s_n}}{H_n^{s_n}} + \left( 1 - E_n^{s_n} \right) \frac{H_j^{s_n}}{H_n^{s_n}} \right) \left. \right\}; \\
 \Delta &= 1 - P \left( q_j E_j^{s_j} E_j^{s_n} + q_n E_n^{s_j} E_n^{s_n} \right) - \\
 &- q_j q_n \left( Q^2 - P^2 \right) E_j^{s_j} E_j^{s_n} E_n^{s_j} E_n^{s_n}; \\
 E_j^{s_j} &= \exp \left( -\frac{t_j}{x} H_j^{s_j} \right); H_j^{s_j} = 1 + i s_j k l_j x; \tau_{n,j} = \frac{\tau_n}{\tau_j}; \\
 s_j &= \pm; t_j = \frac{d_j}{l_j}; j \neq n = 1, 2.
 \end{aligned}$$

Коефіцієнт поглинання звукової енергії у безмежовому зразку  $\Gamma_{0j}$  розрахований у роботі [2] і дорівнює:

$$\begin{aligned}
 \Gamma_{0j} &= \frac{8\pi p_{Fj}^2 g_j g_j^*}{W_j h^3 k v_{Fj}^2} \arctg(kl_j) \approx \\
 &\approx \begin{cases} \omega^2 \tau_j, & kl_j \ll 1; \\ \omega s / v_{Fj}, & kl_j \gg 1, \end{cases} \quad (10)
 \end{aligned}$$

де  $p_{Fj}$  і  $v_{Fj}$  – квазіімпульс та швидкість носіїв заряду на поверхні Фермі,  $h$  – стала Планка.

Формула (8) в принципі повністю вирішує поставлену задачу, визначаючи залежність коефіцієнта електронного поглинання звукової енергії від частоти акустичної хвилі та товщини двошарової пластини (акустичний розмірний ефект у ДП) при довільних значеннях параметрів  $q_j, P, Q, t_j$  і  $kl_j$ . Інтеграли, що входять у формулу (8) не можна виразити через елементарні функції. Тому подальший аналіз зміни декременту затухання звуку зі зміною частоти звукової хвилі і відношення товщин шарів ДП  $d_{j,n} = d_j / d_n$  можливий лише на основі числових розрахунків. Однак для великих і малих значень параметрів  $t_j$  і  $kl_j$  для коефіцієнта поглинання звуку можна отримати досить прості аналітичні формули, які значно спрощують порівняння теоретичних та експериментальних результатів.

Якщо товщина шарів  $d_j$  значно більша довжини вільного пробігу електронів  $l_j$  в них, тобто  $t_j \gg 1$ , то коефіцієнт поглинання звукової енергії для довільних значень параметрів  $q_j, P, Q$  і  $kl_j$  має наступний вигляд:

$$\begin{aligned}
 \Gamma &= \frac{1}{d} \sum_{j=1}^2 d_j \Gamma_{0j} \left\{ 1 - \frac{kl_j}{\arctg kl_j} \frac{l_j}{d_j} \times \right. \\
 &\times \left[ \frac{1}{1 + k^2 l_j^2} - \frac{2 + q_j + P}{4k^2 l_j^2} \ln(1 + k^2 l_j^2) - \right. \\
 &\quad \left. \left. - \frac{Q \tau_{n,j}}{4(kl_n - kl_j)} \times \right. \right. \\
 &\left. \left. \times \left( \frac{1}{kl_n} \ln(1 + k^2 l_n^2) - \frac{1}{kl_j} \ln(1 + k^2 l_j^2) \right) \right] \right\}. \quad (11)
 \end{aligned}$$

В області слабкої просторової дисперсії  $kl_j \ll 1$ , коефіцієнт поглинання енергії звукової хвилі визначається усіма електронами на поверхні Фермі і для величини  $\Gamma$  з формули (11) дістанемо:

$$\begin{aligned}
 \Gamma &= \frac{1}{d} \sum_{j=1}^2 d_j \Gamma_{0j} \left\{ 1 - \frac{1}{4} \frac{l_j}{d_j} \left[ 2 - q_j - P - Q \tau_{n,j} - \right. \right. \\
 &\quad \left. \left. - \frac{1}{6} (14 - q_j - P - Q \tau_{n,j}) k^2 l_j^2 + \right. \right. \\
 &\left. \left. + \frac{1}{2} Q (1 + \tau_{n,j}) k^2 l_n^2 \right] \right\}, kl_j \ll 1, d_j \gg l_j. \quad (12)
 \end{aligned}$$

В області сильної просторової дисперсії  $kl_j \gg 1$  поглинання звукової енергії визначається резонансною групою електронів з  $v_{xj} \approx 0$ , тобто носіями заряду, які на довжині вільного пробігу рухаються майже в площині постійної фази звукової хвилі під кутом до хвильового вектора  $\mathbf{k}$ , близьким до  $\pi/2$  (напрямок руху цих носіїв заряду складає з площиною постійної фази кут порядку  $s/v_F$ ). Величина коефіцієнта поглинання звуку у цій області частот дорівнює:

$$\begin{aligned}
 \Gamma &= \frac{1}{d} \sum_{j=1}^2 d_j \Gamma_{0j} \left\{ 1 + \frac{2 + q_j + P}{\pi k d_j} \ln kl_j + \right. \\
 &\left. + \frac{Q}{\pi k d_j (1 - \tau_{n,j})} \left[ \tau_{n,j} \ln kl_j - \ln kl_n \right] \right. \\
 &\quad \left. kl_j \gg 1, d_j \gg l_j. \right. \quad (13)
 \end{aligned}$$

Розглянемо інший граничний випадок, коли двошарова пластинка складається із тонких шарів металу ( $d_j \ll l_j$ ). Якщо шари металу ДП мають однакову ступінь чистоти ( $l_j = l_n$ ), МП шарів та зовнішні поверхні зразка дзеркальним чином розсіюють електрони ( $P = q_j = 1; Q = 0$ ), то двошарову пластину формально можна розглядати як

тонку плівку товщиною  $d = d_1 = d_2$  в якій коефіцієнт електронного поглинання звукової енергії дорівнює [9]:

$$\Gamma = 1 + \frac{2(1 - \cos kd)}{kd \arctg(kl)} \frac{1}{d} \left\{ 1 + \frac{1}{2(1 + k^2 l^2)} - \frac{3}{2kl} \arctg(kl) \right\} \cong \begin{cases} 1 + \frac{1}{5}(kl^4), & kl \ll 1, \\ \frac{2}{\pi} kl, & kl \gg 1. \end{cases} \quad (14)$$

Як слідує з формули (14), величина  $\Gamma > \Gamma_0$ , оскільки в даній ситуації з однієї сторони не змінюється відносне число носіїв заряду які ефективно взаємодіють зі звуковою хвилею (внесок у поглинання енергії акустичної хвилі вносять усі електрони поблизу поверхні Фермі), з іншої - дзеркальні границі не руйнують синхронності руху електронів і на всій довжині вільного пробігу вони поглинають енергію у звуковій хвилі. Якщо ж межа поділу шарів абсолютна прозора для носіїв заряду ( $Q = 1, P = 0$ ), а зовнішні поверхні дзеркальним чином розсіюють електрони ( $q_j = 1$ ), то коефіцієнт поглинання звукової енергії знову визначається формулою (14) в якій  $d = d_1 + d_2$ , тобто двохшарову пластину знову формально можна розглядати як тонку плівку але товщиною  $d = d_1 + d_2$ .

Для значень параметрів дзеркальності  $q_j, P, Q < 1$  коефіцієнт поглинання звукової енергії в області слабкої просторової дисперсії ( $kl_j \ll 1$ ) суттєво зменшується у порівнянні з  $\Gamma_{0j}$  і має наступний вигляд (множниками порядку  $k^2 l_j^2$  ми знехтували):

$$\Gamma = \frac{1}{d} \sum_{j=1}^2 d_j \Gamma_{0j} \left\{ \frac{1 + q_j}{2(1 - q_j P)(1 - q_n P) - q_j q_n Q^2} \times \right. \\ \left. \times [(1 + P)(1 - q_n P) + q_n Q^2 + (1 + q_n) Q d_{n,j}] \frac{d_j}{l_j} \ln \frac{l_j}{d_j} \right\}. \quad (15)$$

Звідси випливає, що зменшення величини  $\Gamma$  у порівнянні зі своїм об'ємним значенням обумовлено зменшенням відносного числа електронів на поверхні Фермі, які ефективно взаємодіють із звуковою хвилею і визначають величину затухання її енергії (їхнє відносне число дорівнює  $d_j / l_j$ ). Множник  $\ln l_j / d_j$  визначає внесок електронів у величину  $\Gamma$ , які рухаються під малими кутами до внутрішньої та зовнішніх меж двохшарового зразка і зіткнуться з ними.

В області сильної просторової дисперсії ( $kl_j \gg 1, kd_j \ll 1$ ) внаслідок просторової локалізації електронів уздовж фронту акустичної хвилі

декремент затухання звукової хвилі збільшується в  $kl_j$  раз у порівнянні з величиною  $\Gamma$ , яка вимірюється в області слабкої просторової дисперсії, оскільки саме в  $kl_j$  раз збільшується відносне число електронів взаємодіючих зі звуковою хвилею (їхнє відносне число дорівнює  $kd_j = kl_j \frac{d_j}{l_j}$ ):

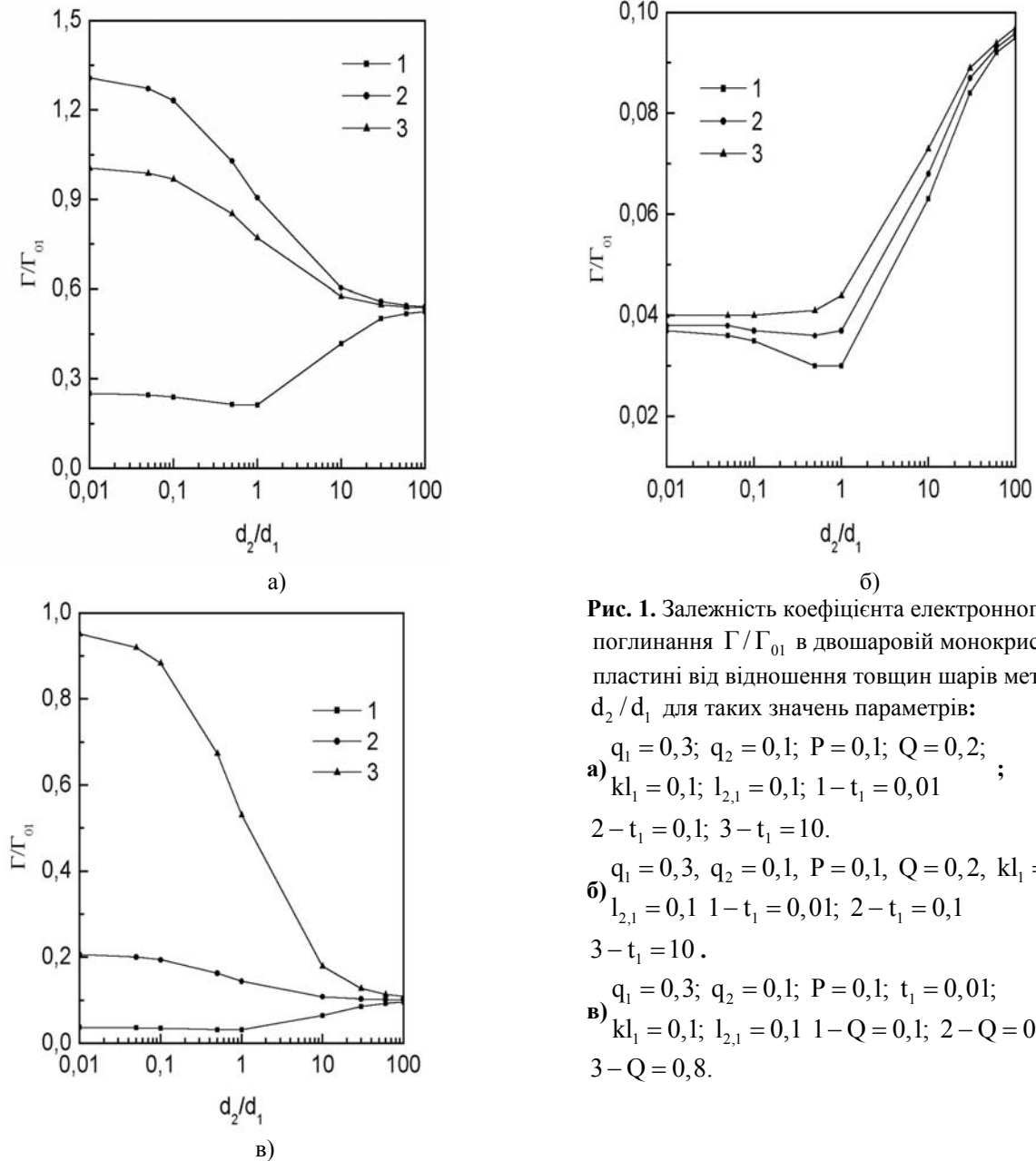
$$\Gamma = \frac{1}{d} \sum_{j=1}^2 d_j \Gamma_{0j} \left\{ \frac{1 + q_j}{(1 - q_j P)(1 - q_n P) - q_j q_n Q^2} \times \right. \\ \left. \times [(1 + P)(1 - q_n P) + q_n Q^2 + (1 + q_n) Q d_{n,j}] \frac{kd_j}{\pi} \ln \frac{l_j}{d_j} \right\}. \quad (16)$$

При подальшому збільшенні хвильового вектора  $\mathbf{k}$  так, що  $kd_j \gg 1$ , внаслідок обмеження зразка по товщині, коефіцієнт поглинання звуку стає осцилюючою функцією товщини  $d$  ДП і товщини її окремих шарів  $d_j$

$$\Gamma = \frac{1}{d} \sum_{j=1}^2 d_j \Gamma_{0j} \left\{ 1 + \frac{1 + q_j}{(1 - q_j P)(1 - q_n P) - q_j q_n Q^2} \times \right. \\ \left. \times [(1 + P)(1 - q_n P) + q_n Q^2 - \frac{1}{2}(1 + q_n) Q \left( 1 + \frac{\cos kd - \cos kd_n}{1 - \cos kd_j} \right)] \times \right. \\ \left. \times \frac{2(1 - \cos kd_j)}{\pi k d_j} \ln \frac{l_j}{d_j} \right\}, \quad (17)$$

яка досягає свого максимального значення при відсутності розсіювання носіїв заряду на МП шарів ( $P + Q = 1$ ), дзеркальних зовнішніх межах ( $q_j = 1$ ) і коли на товщині кожного із шарів металу ДП  $d_j$  укладається непарне число напівхвиль  $\lambda/2$ . Якщо ж на товщині шару  $d_j$  укладається парне число напівхвиль  $\lambda/2$ , то величина  $\Gamma$  в ДП збігається зі своїм об'ємним значенням, оскільки у цьому випадку за час вільного пробігу  $\tau_j$  носії заряду проходять однакову кількість областей розтягу і стиснення решітки металу і, відповідно, електрони не змінюють свою енергію. Із подальшим зростанням хвильового числа  $k$  амплітуда осциляцій коефіцієнта поглинання звукової енергії зменшується і при виконанні нерівності  $k \gg \frac{1}{d^2}$  величина  $\Gamma$  в ДП по порядку величини буде співпадати зі своїм об'ємним значенням.

Подібні осциляції декремента затухання звуку спостерігаються і в багатошарових структурах типу метал-діелектрик, які теоретично були розглянуті в роботі [10] у припущенні, що межі поділу шарів зразка



**Рис. 1.** Залежність коефіцієнта електронного поглинання  $\Gamma/\Gamma_{01}$  в двошаровій монокристалічній пластині від відношення товщин шарів металу  $d_2/d_1$  для таких значень параметрів:

$q_1 = 0,3; q_2 = 0,1; P = 0,1; Q = 0,2;$

**а)**  $kl_1 = 0,1; l_{2,1} = 0,1; 1 - t_1 = 0,01$  ;

$2 - t_1 = 0,1; 3 - t_1 = 10.$

**б)**  $q_1 = 0,3; q_2 = 0,1; P = 0,1; Q = 0,2; kl_1 = 10,$  ;

$l_{2,1} = 0,1; 1 - t_1 = 0,01; 2 - t_1 = 0,1$

$3 - t_1 = 10.$

$q_1 = 0,3; q_2 = 0,1; P = 0,1; t_1 = 0,01;$

**в)**  $kl_1 = 0,1; l_{2,1} = 0,1; 1 - Q = 0,1; 2 - Q = 0,5;$  ;

$3 - Q = 0,8.$

розсіюють електрони або дифузним ( $P = Q = 0$ ) або дзеркальним ( $P = 1, Q = 0$ ) чином.

Для проведення числового розрахунку, коефіцієнт електронного поглинання енергії поздовжньої звукової хвилі в ДП зручно записати у вигляді

$$\frac{\Gamma}{\Gamma_{01}} = \frac{\Phi_1}{1 + d_{2,1}} \{1 + R_{2,1}\}, \quad (18)$$

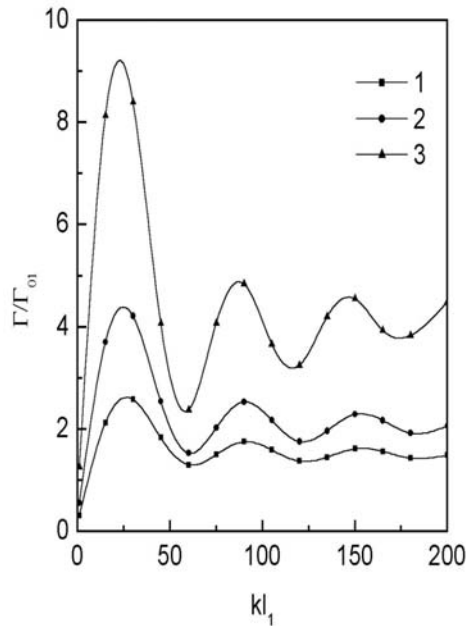
асимптотичний вираз якого при  $d_j \ll d_n$  має вигляд:

$$\Gamma = \Gamma_{0j} \Phi_j \{1 - d_{n,j} + R_{n,j}\}, \quad (19)$$

де  $R_{n,j} = d_n \Gamma_{0n} \Phi_n \setminus d_j \Gamma_{0j} \Phi_j$ .

Криві, наведені на рис. 1-2 отримані числовим розрахунком по точній формулі (18) і ілюструють

залежність нормованого на об'ємний коефіцієнт поглинання базисного шару  $\Gamma_{01}$  величини коефіцієнта поглинання звукової енергії від відношення товщин шарів металу  $d_{2,1} = d_1/d_2$  та параметра  $kl_1$  при різних значеннях параметрів, які описують поверхневу та об'ємну релаксацію носіїв заряду у двошаровому зразку ( $t_2 = t_1 d_{2,1} l_{1,2}$ ). Отримані залежності показують, що зміна  $\Gamma(d_2)$  в області малих значень  $d_{2,1} \ll 1$  визначається характером розсіювання електронів на межі поділу шарів, в той час як в області великих значень  $d_{2,1} \gg 1$  коефіцієнт поглинання асимптотично прямує до  $\Gamma_{02}/\Gamma_{01}$ . Якщо товщини шарів металу



**Рис. 2.** Залежність декремента затухання енергії звукової хвилі  $\Gamma/\Gamma_{01}$  у двошаровій пластині від  $kl_1$  для таких значень параметрів:  $q_j = 1$ ,  $Q = 0,1$ ;  $t_1 = 0,1$ ;  $l_{2,1} = 1$ ;  $d_{2,1} = 0,1$ ; 1 –  $P = 0$ ; 2 –  $P = 0,5$ ; 3 –  $P = 0,9$ .

двошарового зразка по порядку величини співпадають, тобто  $d_2 \sim d_1$ , то внаслідок дифузного розсіювання носіїв заряду на межі поділу шарів величина  $\Gamma$  проходить через мінімум як в області слабкої (рис.1а, крива 1) так і в області сильної (рис.1б, крива 1) просторової дисперсії. Із зростанням дзеркальності межі поділу шарів (рис.1в) або збільшення товщини базисного шару металу ДП (рис.1а-б, криві 2-3) мінімум вироджується і коефіцієнт поглинання монотонним чином змінюється із зростанням величини  $d_{2,1}$ . При виконанні нерівності  $kd_j \gg 1$  внаслідок кінцевості товщини шарів двошарової пластини величина коефіцієнта електронного поглинання звукової енергії стає осцилюючою функцією товщини шарів  $d_j$  і товщини ДП  $d$ , амплітуда якої збільшується із зростанням дзеркальності зовнішніх меж і межі поділу шарів ДП (рис. 2).

Таким чином, розмірна залежність коефіцієнта поглинання звукової хвилі у двошарових пластинках суттєво відрізняється від аналогічної залежності для одношарової пластинки [9]. При малій товщині покриття ( $d_2 \ll d_1$ ) його вплив малосуттєвий, але числове значення коефіцієнта поглинання в ДП відрізняється від його значення для тонкої пластинки

внаслідок можливості розсіювання електронів не лише на зовнішніх межах ДП, а й на межі поділу шарів. Із збільшення товщини покриття величина  $\Gamma$  на усій області звукових частот при виконанні нерівності  $kd_j \ll 1$  зменшується, оскільки із збільшенням  $d_2$ , збільшується відносне число дифузно розсіюваних електронів на межі поділу шарів. З подальшим зростанням товщини шару металу, що напиляється на базисний шар, тобто при  $d_2 \gg d_1$ , коефіцієнт поглинання в двошаровій пластині визначається відношенням об'ємних коефіцієнтів поглинання  $\Gamma_{02}/\Gamma_{01}$ . При виконанні нерівності  $kd_j \gg 1$  внаслідок кінцевості товщин шарів ДП коефіцієнт поглинання стає осцилюючою функцією, амплітуда якої зв'язана не лише з товщиною ДП  $d$ , а й з товщинами окремих шарів  $d_j$  двошарового зразка.

Експериментальне дослідження осциляційної залежності коефіцієнта поглинання дає можливість отримати інформацію щодо параметрів дзеркальності, які описують характер взаємодії носіїв заряду з МП шарів та зовнішніми поверхнями двошарового зразка.

- [1] В.К. Медведєв, Т.П. Смерека, С.И. Степановский и др. Адсорбция тербия и гадолиния на грани (100) кристалла вольфрама. // ФТТ, **33**(12), сс. 3623-3626 (1991).
- [2] Т.П. Смерека, С.И. Степановський, Ф.М. Гончар, Р.Р. Каменецький. Електронно-адсорбційні властивості плівки гольмію на грані (100) кристалла вольфраму. // Вісн. Львів. ун-ту. Сер. Фіз., сс. 107-111 (1993).

- [3] N. Oslemzadeh, S.D. Barrett, J. Ledieu and E. Cox. A c(2x2) structure of Dy on W(100) with high thermal stability. // Surface Science Letters, **513**(2), pp. L425-L429 (2002).
- [4] В.К. Медведев, Т.П. Смерека, С.И. Степановский, Ф.М. Гончар. Адсорбция тербия и самария на грани (112) кристалла вольфрама. // УФЖ, , **37**(7), сс.1053-1057 (1992).
- [5] Ф.М. Гончар, В.К. Медведев, Т.П. Смерека и др. Адсорбция гадолиния и диспрозия на грани (112) монокристалла вольфрама. // ФТТ, **29**(9), сс.2833-2836 (1987).
- [6] Ф.М. Гончар, В.К. Медведев, Т.П. Смерека, В.В. Савичев. Адсорбция гольмия на грани (112) монокристалла вольфрама. // ФТТ, **31**(6), сс.249-251 (1989).
- [7] J. Kolaczkiwicz and E. Bauer. The adsorption of europium and terbium on the tungsten (211) surface. // Surface Science, **154**, pp.357-370 (1985).
- [8] [8] М.С. Гупало, В.К. Медведев, Т.П. Смерека и др. Адсорбция лантана на грани (100) монокристалла вольфрама. // ФТТ, **19**(10), сс.2955-2959 (1977).
- [9] [9] В.К. Никулин, Н.Д. Потехина. Эффект изменения валентного состояния атомов редкоземельных элементов при адсорбции на переходных металлах. // ФТТ, **20**(11), сс.3354-3357 (1978).
- [10] [10] С.Глесстон, К.Лейдлер, Г.Эйринг. Теория абсолютных скоростей реакций. ИЛ, М., (1948).
- [11] [11] С.І.Степановський, Т.П.Смерека, М.С.Гупало і ін. Електронний стан атомів тербію, адсорбованих на вольфрамі. // Вісн. Львів. ун-ту. Сер. фіз. Електронні процеси в твердих тілах. 21, сс.99-102 (1987).

L.V. Dekhtyaruk

## Size Acousto-Electronic Oscillatory Effect in Metal Double-Layers

*Kharkiv State Technical University of building and architecture,  
40, Sum'ska Str., Kharkiv, 61002, Ukraine; tel. (0572) 40-29-13*

A size and frequency dependence of an absorption coefficient  $\Gamma$  of a longitudinal acoustic wave energy is investigated theoretically in metal double-layers. We consider the case, in which the wave is propagated along a normal to an interface of the layers. A ratio between thicknesses of the layers  $d_j$  ( $j=1,2$ ) and an electron mean free path  $l_j$  are assumed to be arbitrary. A non-monotonic dependence of the value  $\Gamma$  on the ratio of the layer thicknesses is predicted, if the inequality  $kd_j \ll 1$  is held ( $k$  – is a wave number of the sound wave). If  $kd_j \gg 1$ , as a result of finite thickness of the layers, the absorption coefficient of the sound wave energy becomes an oscillatory function of a layer thickness. An amplitude of oscillations depends on a surface and interface scattering. The detailed numerical calculations of function  $\Gamma$  for different values of parameters, which describe a surface and bulk relaxation of charge carriers, have been carried out.